

宮崎大学工学部 正員 風田光大

## 〔はじめに〕

長周期波による沿地内の水面振動を知るために、2, 3 の異なった沿地形状について、実験的検討を行つてみた。

## 〔実験方法〕

図-1のようすに当時の屋外実験水槽の一部を中央6m、に区切り、この中に、造波板にたいして直角に模型沿地を面した。模型の寸法は、図-2へ図-5のようすがもとで、港を除く用いた実験波も示している。水平床での水深(h)は、矩形沿地で6cm、L型万さ以下型の沿地では8cmである。波高の測定には、トオノ管式波高計、万さごとに容量型の波高計を用い、沿地内の数点に亘りてオホ波から沿地内外の水面振動がほぼ正常化するまでの記録をとつた。ここでは、港奥部(黒印)と折曲点(白印)あたりについて整理し、縦軸に入射波と、その次の波高比(M)を、横軸に港長(l)と、波長(L)との比( $l/L$ )をもって示した。

## 〔実験結果〕

## ○ 矩形沿地

これは、図-2のようすに、奥行きは1波長、中をほぼ半波長とした基本形と、この港口位置をずらして、港長を変化した場合の実験である。港長の中間点 $l/2$ では $l/L$ が0.5、万さごとに1.0のときピーチが現れ、このようすが矩形沿地の一般的な傾向を示している。港奥では $l/L=1/4$ m附近で副振動の卓越が現れるものであるが、このとき、沿地表が波長に合ひて重複波の山が港口に沿って、外海の波に沿って港内反射波が発散されていく傾向が現れる。

## ○ L型沿地

図-3のようすに、沿地部(港口入射波に向直角な部分)の長さを変化させた場合の港奥部と、折曲点、に亘る水面振動を示したもので、港奥の波高測定点を同時に移動していく。沿地部が短く直角矩形沿地に近いところに行けば、内側折曲部附近の不規則な振動のために、港奥部波高は、次々変動的であるが、それでも $l/L$ が1.0( $T=4.4\text{ sec}$ )より

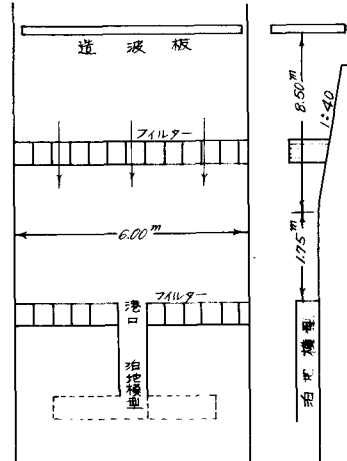


図-1

図-2

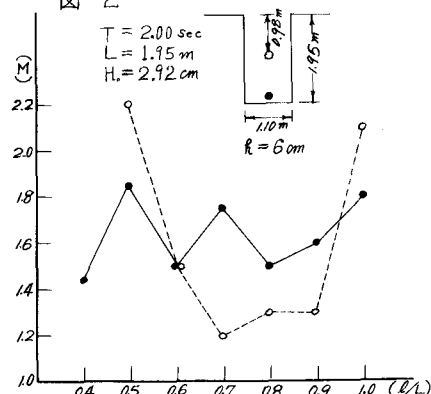
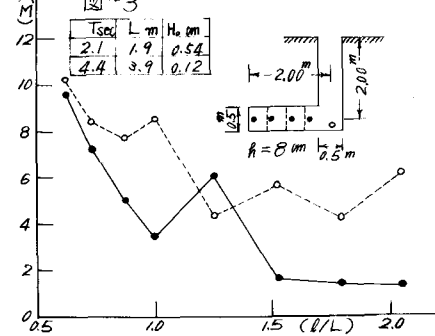


図-3



小さくなると、港奥付近に涌中率の傾向にあつた。即ち港奥の変化による影響が明らかで、港奥が短くなるにつれて、港奥部の副振動は大きくなる。

折曲率でも、ほぼ同様の傾向である。

$L/L$ が1.5以上では、泊地部の表立水位の影響は少ないので、港奥では、ほとんど変わらない。

#### ○丁字型泊地

図-4は、丁字形の泊地において、泊地部の表立水位の変化(左右同形)をしたときの実験で、測定点は、前記のL型と同様である。

L字型泊地の場合に比べ、丁字型泊地ではその振動波形が簡単なものであり、また、港奥の涌中率に比べ、折曲部の涌中率は、常に大きい、その両者には相関が明らかであると言ふのである。

港奥変化による涌中率の変化も港奥では、 $M=0 \sim 2$ の範囲内で増減し、L字型のようほ頗るは変化はないようである。

図-5は、この模型の基準形に周期1~6secの入射波を当てたもので、港奥部、折曲部ともに、 $L/L$ が、0.9~1.0附近で、涌中率のピークがみられた。

$L/L$ が大きいと、港奥より折曲部の涌中率が、一般に大きいものである。

#### (正す)

ここでは、港奥部と折曲部の对比について検討したが、全資料の整理を終えて、泊地の形状による相違現象を明らかにしておいたいと考えている。

したがって、二つの実験は、「高潮災害の総合的研究」(九大、福原教授)の一環であることを附記する。

即ち港奥の変化による影響が明らかで、港奥

図-4

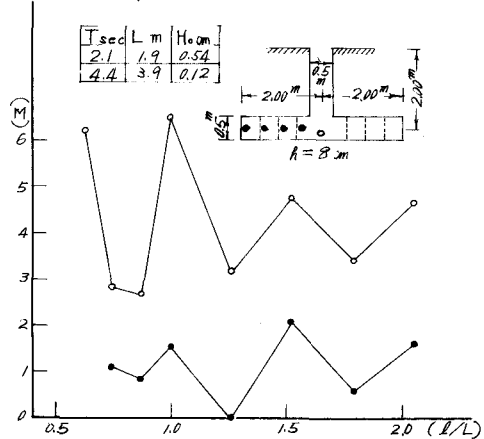


図-5

